

各種RCはり部材の破壊性状におよぼす材料特性の影響

岐阜大学 正会員 小柳 治 ○六郷恵哲
学生会員 岩瀬裕之 内田裕市

1. まえがき コンクリート構造物や部材には耐力とならんで韌性が必要とされるが、この韌性は消散エネルギー量をもとに評価することができる。本研究においては、複鉄筋RCはりを対象とし、はりの韌性とコンクリートならびに鉄筋の材料特性および鉄筋量との関係について検討した。

2. 引張鉄筋の塑性変形が停止する点《R点》 曲げをうけた单鉄筋はりの破壊過程においてはコンクリート上縁ひずみ ε_c が増大し曲率が増加しても引張鉄筋の塑性変形が停止する点（R点とよぶ）が存在し、このR点以後耐力が急激に低下するなどを筆者らは報告した¹⁾。ここでは、より一般化したばかりとして複鉄筋はりをとりあげ R点の算定方法について検討した。

ε_{cr} と ε_{sr} コンクリートの圧縮応力ひずみ曲線においてあるひずみ ε_c にいたるまでの曲線によって囲まれた面積 $S(\varepsilon_c)$ は次式で与えられる。

$$S(\varepsilon_c) = \int_0^{\varepsilon_c} \sigma(\varepsilon) d\varepsilon \quad (1)$$

圧縮力 C と引張力 T は、圧縮鉄筋と引張鉄筋が降伏していいる場合には、

$$T = pbd\bar{\sigma}_{sy} \quad (2)$$

$$C = S(\varepsilon_c)bx/\varepsilon_c + p'bd\bar{\sigma}_{sy}' \quad (3)$$

P は引張鉄筋比、P' は圧縮鉄筋比、 $\bar{\sigma}_{sy}$ は引張鉄筋の降伏強度、 $\bar{\sigma}_{sy}'$ は圧縮鉄筋の降伏強度、b ははり幅、d は有効高さである。引張鉄筋のひずみを ε_s とすると中立軸位置 x は $x = E_c d / (\varepsilon_c + \varepsilon_s)$ で与えられ、

$$C = S(\varepsilon_c)bd / (\varepsilon_s + \varepsilon_c) + p'bd\bar{\sigma}_{sy}' \quad (4)$$

となる。力のつもりあい ($T = C$) より、

$$pbd\bar{\sigma}_{sy} = S(\varepsilon_c)bd / (\varepsilon_s + \varepsilon_c) + p'bd\bar{\sigma}_{sy}' \quad (5)$$

コンクリート上縁ひずみが ε_c のときの引張鉄筋ひずみ ε_s は、

$$\varepsilon_s = S(\varepsilon_c) / (p\bar{\sigma}_{sy} - p'\bar{\sigma}_{sy}') - \varepsilon_c \quad (6)$$

R点では $d\varepsilon_s/d\varepsilon_c = 0$ となり、(6)式より、

$$d\varepsilon_s/d\varepsilon_c = \{dS(\varepsilon_c)/d\varepsilon_c\} / (p\bar{\sigma}_{sy} - p'\bar{\sigma}_{sy}') - 1 \quad (7)$$

したがって、R点に対応するコンクリート上縁応力 $\bar{\sigma}_{cr}$ は、

$$\bar{\sigma}_{cr} = p\bar{\sigma}_{sy} - p'\bar{\sigma}_{sy}' \quad (8)$$

上式より、R点のコンクリートひずみ ε_{cr} は、コンクリートの圧縮応力ひずみ曲線において、応力が下降域で $\{p\bar{\sigma}_{sy} - p'\bar{\sigma}_{sy}'\}$ に等しくなるひずみとして与えられる。R点の引張鉄筋ひずみ ε_{sr} は(8)式を(6)式へ代入して求まる。ただし、(8)式が成立するのは R点の引張鉄筋ひずみ ε_{sr} が引張鉄筋の破断ひずみ ε_{sf} より小さく、かつ圧縮鉄筋が降伏している場合である。

ε_{cr} と ε_{sr} 圧縮鉄筋位置を d' とすると、圧縮鉄筋ひずみ ε'_s は次式で表わせれる。

$$\varepsilon'_s = \varepsilon_c (1 - d'/d) - \varepsilon_s d'/d \quad (9)$$

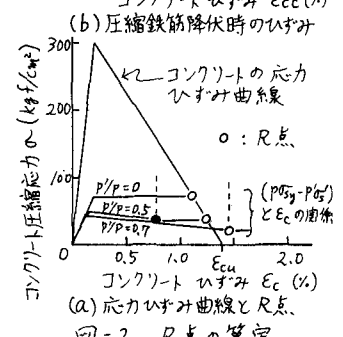
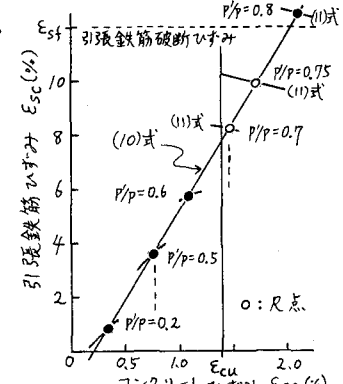


図-2 R点の算定

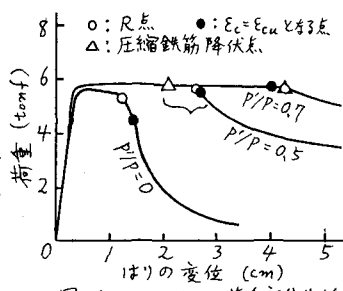


図-3 RCはりの荷重変位曲線

圧縮鉄筋降伏時 ($\varepsilon'_s = \varepsilon'_{sy}$) の引張鉄筋ひずみ ε_{sc} は、

$$\varepsilon_{sc} = \varepsilon_{cc}(d-d')/d' - \varepsilon'_{sy} d/d' \quad (10)$$

ε_{cc} は圧縮鉄筋降伏時のコンクリートひずみ。一方、(6)式より、

$$\varepsilon_{sc} = S(\varepsilon_c)/(p\sigma_{sy} - p'\sigma'_{sy}) - \varepsilon_{cc} \quad (11)$$

(10), (11)式より圧縮鉄筋降伏時の ε_{sc} と ε_{cc} が求まる。

計算例 図-1に示すはり部材を考える。コンクリートの圧縮応力ひずみ曲線の形状は図-2(a)とし、鉄筋の引張応力ひずみ曲線はひずみ硬化を無視して2直線で与え、引張鉄筋比 p を2.0%とし、圧縮鉄筋比 p' を変化させた場合のはりの荷重変位曲線を計算し(計算方法の詳細は文献1)参照)、図-3に示す。 p'/p が小さい場合($p'/p = 0.5$)には ε_c が ε_{cu} (コンクリート応力がゼロとなるひずみ)以前に圧縮鉄筋が降伏するため、R点は $\sigma_{cr} = p\sigma_{sy} - p'\sigma'_{sy}$ に対応する ε_{cr} で生じる。しかし、 p'/p が高くなると($p'/p = 0.7$) ε_c が ε_{cu} を越えた後、圧縮鉄筋が降伏する点がR点となる。図-2(b)に圧縮鉄筋が降伏したときのコンクリートひずみ ε_{cc} と引張鉄筋ひずみ ε_{sc} との関係を示し、図-2(a)に $(p\sigma_{sy} - p'\sigma'_{sy})$ と ε_c との関係を示す。 $p'/p = 0.2, 0.5, 0.6$ の場合、 ε_c が ε_{cu} と左の前に圧縮鉄筋が降伏するので、R点のコンクリートひずみ ε_{cr} は(8)式を用いて求まる。 $p'/p = 0.7, 0.75$ の場合、R点のコンクリートひずみ ε_{cr} は、圧縮鉄筋降伏時のコンクリートひずみ ε_{cc} となる。引張鉄筋の破断ひずみ ε_{sf} を12%と仮定すると、 $p'/p = 0.8$ 以上の場合には、圧縮鉄筋の降伏によるR点が生じる前に引張鉄筋が破断することとなる。

3. 消散エネルギー はり全体のエネルギー消費の大部分はモーメントスパン(l_m)内で生じるとして仮定する。はり全体の消散エネルギー W_{it} は、コンクリート部分の消散エネルギー W_{ic} 、引張鉄筋の消散エネルギー W_{ist} 、圧縮鉄筋の消散エネルギー W_{isc} の和となり、次式で与えられる。

$$W_{it} = W_{ist} + W_{isc} + W_{ic} = pbd\sigma_{sy}(E_s - \varepsilon_{sy})l_m + p'bd\sigma'_{sy}(\varepsilon'_s - \varepsilon_{sy})l_m + W_{ic} \quad (12)$$

引張鉄筋ひずみ ε_s が降伏ひずみ ε_{sy} をはるかに越えていた場合には $\varepsilon_s \gg \varepsilon_{sy}$, $\varepsilon_s \gg \varepsilon_c$ となり(5)式より、

$$W_{it} \approx S(\varepsilon_c)bd l_m + p'\sigma'_{sy}\varepsilon_s bd l_m + p'bd\sigma'_{sy}(\varepsilon'_s - \varepsilon_{sy})l_m + W_{ic} \quad (13)$$

となる。単鉄筋はりで $W_{ist} \gg W_{ic}$ の場合には、 $W_{it} \approx S(\varepsilon_c)bd l_m$ となり、はり全体の消散エネルギーは、コンクリートの圧縮応力ひずみ曲線において ε_c にいたるまでの曲線が囲む面積 $S(\varepsilon_c)$ にほぼ比例する。一方、複鉄筋はりで $W_{ist} \gg W_{ic}$ の場合、圧縮鉄筋が W_{it} における効果には、圧縮鉄筋が降伏することによる効果((13)式右辺第3項)のほかに、圧縮合力の増加により31張鉄筋の消散エネルギーを増加させた効果(第2項)がある。

計算例 先の計算例の場合と同じ条件とし、圧縮鉄筋比 p' を0~1.6%に変化させ、R点までの W_{it} 、 W_{ic} 、 W_{ist} 、 W_{isc} を計算し表-1に結果を示す。はり全体の消散エネルギー W_{it} の大部分を引張鉄筋の消散エネルギー W_{ist} が占め、圧縮鉄筋の消散エネルギー W_{isc} は極めて小さいこと、圧縮鉄筋比が増加すると引張鉄筋の消散エネルギー W_{ist} が増加することが表-1よりわかる。

4.まとめ 複鉄筋はりについて、R点の算定方法を導き、R点と圧縮鉄筋降伏点との間の31張鉄筋破断点の関係を示すとともに、圧縮鉄筋はり全体の消散エネルギーにおける影響を明らかにした。

参考文献 ① 小柳ほか: 第4回コンクリート工学年講論文集, pp. 345~348, 1982年.

表-1 計算結果

$p'(\%)$	p'/p	W_{it}	W_{ic}	W_{ist}	W_{isc}	ε_{sr}	ε_{cr}
0	0	60.4	18.7	40.7	-	0.017	0.011
0.4	0.2	76.8	12.6	59.9	2.8	0.024	0.012
1.0	0.5	133.0	9.5	118.1	4.8	0.045	0.013
1.2	0.6	168.3	7.6	157.3	2.6	0.060	0.013
1.4	0.7	228.0	7.1	218.7	0	0.083	0.015
1.6	0.8	342.0	8.2	330.4	0	0.125	0.021

$\sigma_{sy} = \sigma'_{sy} = 3600 \text{ kgf/cm}^2$, $p = 2.0\%$, エネルギーの単位: $\text{kgf}\cdot\text{m}$

